

Techniques de Machine Learning dans l'amélioration d'intégrateurs numériques pour les équations différentielles stochastiques.

Dorian Coudiere sous la supervision d'Adrien Laurent

June 4, 2024

- 1 Nature du problème
- 2 Construction de notre Modèle
- 3 Simualtions numériques
- 4 Conclusion et suite

Equation différentielle stochastique

EDS:

$$dX = f(X)dt + \sigma(X)dW(t) \quad X(0) = x \in \mathbb{R}^d$$

Equation différentielle stochastique

EDS:

$$dX = f(X)dt + \sigma(X)dW(t) \quad X(0) = x \in \mathbb{R}^d$$

Flot exact : $Y(h) = \varphi_h(Y_0)$

Equation différentielle stochastique

EDS:

$$dX = f(X)dt + \sigma(X)dW(t) \quad X(0) = x \in \mathbb{R}^d$$

Flot exact : $Y(h) = \varphi_h(Y_0)$

Intégrateur : $Y_{n+1} = \phi_h^{f,\sigma}(Y_n)$

Equation différentielle stochastique

EDS:

$$dX = f(X)dt + \sigma(X)dW(t) \quad X(0) = x \in \mathbb{R}^d$$

Flot exact : $Y(h) = \varphi_h(Y_0)$

Intégrateur : $Y_{n+1} = \phi_h^{f,\sigma}(Y_n)$

Euler-Maruyama : $Y_{n+1} = Y_n + hf(Y_n) + \sqrt{h}\sigma(Y_n)\xi \quad \xi \sim N(0, 1)$

Equation différentielle stochastique

EDS:

$$dX = f(X)dt + \sigma(X)dW(t) \quad X(0) = x \in \mathbb{R}^d$$

Flot exact : $Y(h) = \varphi_h(Y_0)$

Intégrateur : $Y_{n+1} = \phi_h^{f,\sigma}(Y_n)$

Euler-Maruyama : $Y_{n+1} = Y_n + hf(Y_n) + \sqrt{h}\sigma(Y_n)\xi \quad \xi \sim N(0, 1)$

EDS Modifiée :

$$dX = \tilde{f}(X)dt + \tilde{\sigma}(X)dW(t) \quad X(0) = x \in \mathbb{R}^d$$

Equation différentielle stochastique

EDS:

$$dX = f(X)dt + \sigma(X)dW(t) \quad X(0) = x \in \mathbb{R}^d$$

Flot exact : $Y(h) = \varphi_h(Y_0)$

Intégrateur : $Y_{n+1} = \phi_h^{f,\sigma}(Y_n)$

Euler-Maruyama : $Y_{n+1} = Y_n + hf(Y_n) + \sqrt{h}\sigma(Y_n)\xi \quad \xi \sim N(0, 1)$

EDS Modifiée :

$$dX = \tilde{f}(X)dt + \tilde{\sigma}(X)dW(t) \quad X(0) = x \in \mathbb{R}^d$$

$$X_{n+1} = \varphi_h(X_n) = \phi_h^{\tilde{f},\tilde{\sigma}}(X_n)$$

Equation différentielle stochastique

EDS:

$$dX = f(X)dt + \sigma(X)dW(t) \quad X(0) = x \in \mathbb{R}^d$$

Flot exact : $Y(h) = \varphi_h(Y_0)$

Intégrateur : $Y_{n+1} = \phi_h^{f,\sigma}(Y_n)$

Euler-Maruyama : $Y_{n+1} = Y_n + hf(Y_n) + \sqrt{h}\sigma(Y_n)\xi \quad \xi \sim N(0, 1)$

EDS Modifiée :

$$dX = \tilde{f}(X)dt + \tilde{\sigma}(X)dW(t) \quad X(0) = x \in \mathbb{R}^d$$

$$X_{n+1} = \varphi_h(X_n) = \phi_h^{\tilde{f},\tilde{\sigma}}(X_n)$$

Proposition

On peut écrire les champs modifiés comme des B-séries

Equation différentielle stochastique

EDS:

$$dX = f(X)dt + \sigma(X)dW(t) \quad X(0) = x \in \mathbb{R}^d$$

Flot exact : $Y(h) = \varphi_h(Y_0)$

Intégrateur : $Y_{n+1} = \phi_h^{f,\sigma}(Y_n)$

Euler-Maruyama : $Y_{n+1} = Y_n + hf(Y_n) + \sqrt{h}\sigma(Y_n)\xi \quad \xi \sim N(0, 1)$

EDS Modifiée :

$$dX = \tilde{f}(X)dt + \tilde{\sigma}(X)dW(t) \quad X(0) = x \in \mathbb{R}^d$$

$$X_{n+1} = \varphi_h(X_n) = \phi_h^{\tilde{f},\tilde{\sigma}}(X_n)$$

Proposition

On peut écrire les champs modifiés comme des B-séries

$$\bullet \quad \tilde{f}_h(x) = f(x) + \sum_{i=1}^{\infty} h^i f_i(x) \quad \bullet \quad \tilde{\sigma}_h(x) = \sigma(x) + \sum_{i=1}^{\infty} h^i \sigma_i(x)$$

EDS Linéaire :

$$dX = \lambda X dt + \mu X dW \quad \lambda \in \mathbb{R} \quad \mu \in \mathbb{R} \quad X(0) = x$$

EDS Linéaire :

$$dX = \lambda X dt + \mu X dW \quad \lambda \in \mathbb{R} \quad \mu \in \mathbb{R} \quad X(0) = x$$

Application de l'intégrateur numérique modifié :

EDS Linéaire :

$$dX = \lambda X dt + \mu X dW \quad \lambda \in \mathbb{R} \quad \mu \in \mathbb{R} \quad X(0) = x$$

Application de l'intégrateur numérique modifié :

$$\text{Euler Maruyama : } X(h) = x + h\tilde{f}(x) + \sqrt{h\tilde{\sigma}^2(x)}\xi \quad \xi \sim N(0, 1)$$

EDS Linéaire :

$$dX = \lambda X dt + \mu X dW \quad \lambda \in \mathbb{R} \quad \mu \in \mathbb{R} \quad X(0) = x$$

Application de l'intégrateur numérique modifié :

Euler Maruyama : $X(h) = x + h\tilde{f}(x) + \sqrt{h\tilde{\sigma}^2(x)}\xi \quad \xi \sim N(0, 1)$

- $E[X(h)] = x + h\tilde{f}(x) = x + hf(x) + h^2f_1(x) + h^3f_2(x) + O(h^4)$

EDS Linéaire :

$$dX = \lambda X dt + \mu X dW \quad \lambda \in \mathbb{R} \quad \mu \in \mathbb{R} \quad X(0) = x$$

Application de l'intégrateur numérique modifié :

Euler Maruyama : $X(h) = x + h\tilde{f}(x) + \sqrt{h\tilde{\sigma}^2(x)}\xi \quad \xi \sim N(0, 1)$

- $E[X(h)] = x + h\tilde{f}(x) = x + hf(x) + h^2f_1(x) + h^3f_2(x) + O(h^4)$
- $Var[X(h)] = h\tilde{\sigma}^2(x) = h\sigma^2(x) + h^2\sigma_1^2(x) + h^3\sigma_2^2(x) + O(h^4)$

EDS Linéaire :

$$dX = \lambda X dt + \mu X dW \quad \lambda \in \mathbb{R} \quad \mu \in \mathbb{R} \quad X(0) = x$$

Application de l'intégrateur numérique modifié :

Euler Maruyama : $X(h) = x + h\tilde{f}(x) + \sqrt{h\tilde{\sigma}^2(x)}\xi \quad \xi \sim N(0, 1)$

- $E[X(h)] = x + h\tilde{f}(x) = x + hf(x) + h^2f_1(x) + h^3f_2(x) + O(h^4)$
- $Var[X(h)] = h\tilde{\sigma}^2(x) = h\sigma^2(x) + h^2\sigma_1^2(x) + h^3\sigma_2^2(x) + O(h^4)$

Solution exact :

$$X(t) = e^{(\lambda - \frac{\mu^2}{2})t + \mu W(t)} x$$

EDS Linéaire :

$$dX = \lambda X dt + \mu X dW \quad \lambda \in \mathbb{R} \quad \mu \in \mathbb{R} \quad X(0) = x$$

Application de l'intégrateur numérique modifié :

Euler Maruyama : $X(h) = x + h\tilde{f}(x) + \sqrt{h\tilde{\sigma}^2(x)}\xi \quad \xi \sim N(0, 1)$

- $E[X(h)] = x + h\tilde{f}(x) = x + hf(x) + h^2f_1(x) + h^3f_2(x) + O(h^4)$
- $Var[X(h)] = h\tilde{\sigma}^2(x) = h\sigma^2(x) + h^2\sigma_1^2(x) + h^3\sigma_2^2(x) + O(h^4)$

Solution exact :

$$X(t) = e^{(\lambda - \frac{\mu^2}{2})t + \mu W(t)} x$$

- $E[X(t)] = e^{\lambda t} x$
- $Var[X(t)] = e^{2\lambda t} (e^{\mu^2 t} - 1) x^2$

EDS Linéaire :

$$dX = \lambda X dt + \mu X dW \quad \lambda \in \mathbb{R} \quad \mu \in \mathbb{R} \quad X(0) = x$$

Application de l'intégrateur numérique modifié :

Euler Maruyama : $X(h) = x + h\tilde{f}(x) + \sqrt{h\tilde{\sigma}^2(x)}\xi \quad \xi \sim N(0, 1)$

- $E[X(h)] = x + h\tilde{f}(x) = x + hf(x) + h^2f_1(x) + h^3f_2(x) + O(h^4)$
- $Var[X(h)] = h\tilde{\sigma}^2(x) = h\sigma^2(x) + h^2\sigma_1^2(x) + h^3\sigma_2^2(x) + O(h^4)$

Solution exact :

$$X(t) = e^{(\lambda - \frac{\mu^2}{2})t + \mu W(t)} x$$

- $E[X(t)] = e^{\lambda t} x$
- $Var[X(t)] = e^{2\lambda t} (e^{\mu^2 t} - 1) x^2$

Fonctions modifiés :

- $f_1(x) = \frac{\lambda^2}{2} x$
- $f_2(x) = \frac{\lambda^3}{6} x$

EDS Linéaire :

$$dX = \lambda X dt + \mu X dW \quad \lambda \in \mathbb{R} \quad \mu \in \mathbb{R} \quad X(0) = x$$

Application de l'intégrateur numérique modifié :

Euler Maruyama : $X(h) = x + h\tilde{f}(x) + \sqrt{h\tilde{\sigma}^2(x)}\xi \quad \xi \sim N(0, 1)$

- $E[X(h)] = x + h\tilde{f}(x) = x + hf(x) + h^2f_1(x) + h^3f_2(x) + O(h^4)$
- $Var[X(h)] = h\tilde{\sigma}^2(x) = h\sigma^2(x) + h^2\sigma_1^2(x) + h^3\sigma_2^2(x) + O(h^4)$

Solution exact :

$$X(t) = e^{(\lambda - \frac{\mu^2}{2})t + \mu W(t)} x$$

- $E[X(t)] = e^{\lambda t} x$
- $Var[X(t)] = e^{2\lambda t} (e^{\mu^2 t} - 1) x^2$

Fonctions modifiés :

- $f_1(x) = \frac{\lambda^2}{2} x$
- $f_2(x) = \frac{\lambda^3}{6} x$
- $\sigma_1^2(x) = (\frac{\mu^4}{2} + 2\lambda\mu^2) x^2$
- $\sigma_2^2(x) = (\frac{\mu^6}{6} + \lambda\mu^4 + 2\lambda^2\mu^2) x^2$

- 1 Nature du problème
- 2 Construction de notre Modèle**
- 3 Simualtions numériques
- 4 Conclusion et suite

Création du Réseau de neurones

$$y_1 = \varphi_h^{f,\sigma}(y_0) = \phi_h^{\tilde{f},\tilde{\sigma}} \rightarrow \phi_h^{f_{app},\sigma_{app}}$$

Création du Réseau de neurones

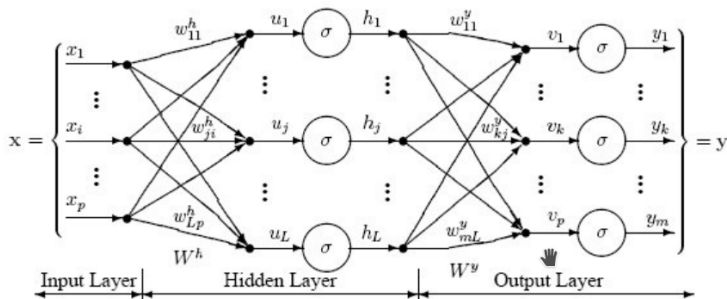
$$y_1 = \varphi_h^{f,\sigma}(y_0) = \phi_h^{\tilde{f},\tilde{\sigma}} \rightarrow \phi_h^{f_{app},\sigma_{app}}$$

- $\tilde{f}_h(y) = f(y) + \sum_{i=1}^n h^i f_i(y) \rightarrow f_{app}(y) = f(y) + \sum_{i=1}^n h^i MLP_{1,i}(y) + R_1$
- $\tilde{\sigma}_h(y) = \sigma(y) + \sum_{i=1}^n h^i \sigma_i(y) \rightarrow \sigma_{app}(y) = \sigma(y) + \sum_{i=1}^n h^i MLP_{2,i}(y) + R_2$

Création du Réseau de neurones

$$y_1 = \varphi_h^{f,\sigma}(y_0) = \phi_h^{\tilde{f},\tilde{\sigma}} \rightarrow \phi_h^{f_{app},\sigma_{app}}$$

- $\tilde{f}_h(y) = f(y) + \sum_{i=1}^n h^i f_i(y) \rightarrow f_{app}(y) = f(y) + \sum_{i=1}^n h^i MLP_{1,i}(y) + R_1$
- $\tilde{\sigma}_h(y) = \sigma(y) + \sum_{i=1}^n h^i \sigma_i(y) \rightarrow \sigma_{app}(y) = \sigma(y) + \sum_{i=1}^n h^i MLP_{2,i}(y) + R_2$



Etapes de l'apprentissage de notre modèle :

Etapes de l'apprentissage de notre modèle :

- On construit un Dataset $(Y_0, h_i)_{1 \leq i \leq N}$

Etapes de l'apprentissage de notre modèle :

- On construit un Dataset $(Y0_i, h_i)_{1 \leq i \leq N}$
- On calcule pour chaque point du dataset une approximation quasi exact de la valeur réel $(Y1_i)_{1 \leq i \leq N}$

Etapas de l'apprentissage de notre modèle :

- On construit un Dataset $(Y0_i, h_i)_{1 \leq i \leq N}$
- On calcule pour chaque point du dataset une approximation quasi exact de la valeur réel $(Y1_i)_{1 \leq i \leq N}$
- On calcule la solution approchée par notre réseau en simulant $\phi_h^{\tilde{f}, \tilde{\sigma}}(Y0)$

Etapes de l'apprentissage de notre modèle :

- On construit un Dataset $(Y0_i, h_i)_{1 \leq i \leq N}$
- On calcule pour chaque point du dataset une approximation quasi exact de la valeur réel $(Y1_i)_{1 \leq i \leq N}$
- On calcule la solution approchée par notre réseau en simulant $\phi_h^{\tilde{f}, \tilde{\sigma}}(Y0)$
- On calcule l'erreur entre la solution exact et la solution donnée par notre réseau de neuronne

Etapas de l'apprentissage de notre modèle :

- On construit un Dataset $(Y0_i, h_i)_{1 \leq i \leq N}$
- On calcule pour chaque point du dataset une approximation quasi exact de la valeur réel $(Y1_i)_{1 \leq i \leq N}$
- On calcule la solution approchée par notre réseau en simulant $\phi_h^{\tilde{f}, \tilde{\sigma}}(Y0)$
- On calcule l'erreur entre la solution exact et la solution donnée par notre réseau de neuronne
- On met à jour les différents paramètres des MLP par rétropropagation

Fonction de perte

Definition

Une fonction de perte est une fonction calculant l'erreur entre la prévision du modèle et la solution exact

Fonction de perte

Definition

Une fonction de perte est une fonction calculant l'erreur entre la prévision du modèle et la solution exact

Exemple :

- MSE : $\frac{1}{n} \sum_{i=1}^n (y_i - \hat{y}_i)^2$

Fonction de perte

Definition

Une fonction de perte est une fonction calculant l'erreur entre la prévision du modèle et la solution exact

Exemple :

- MSE : $\frac{1}{n} \sum_{i=1}^n (y_i - \hat{y}_i)^2$
- MAE : $\frac{1}{n} \sum_{i=1}^n |y_i - \hat{y}_i|$

Fonction de perte

Definition

Une fonction de perte est une fonction calculant l'erreur entre la prévision du modèle et la solution exact

Exemple :

$$\bullet \text{ MSE : } \frac{1}{n} \sum_{i=1}^n (y_i - \hat{y}_i)^2 \quad \bullet \text{ MAE : } \frac{1}{n} \sum_{i=1}^n |y_i - \hat{y}_i|$$

Construction de notre fonction :

$$\begin{aligned} \text{Loss}_{\text{train}} = & \frac{1}{K} \sum_{k=0}^{K-1} \left[\frac{|E[\phi_{h^{(k)}}^{f_{\text{app}}(\cdot, h^{(k)}), \sigma_{\text{app}}(\cdot, h^{(k)})}(y_0^{(k)})] - E[\varphi_{h^{(k)}}^{f, \sigma}(y_0^{(k)})]|}{h^{(k)p+1}} \right. \\ & \left. + \frac{|Cov[\phi_{h^{(k)}}^{f_{\text{app}}(\cdot, h^{(k)}), \sigma_{\text{app}}(\cdot, h^{(k)})}(y_0^{(k)})] - Cov[\varphi_{h^{(k)}}^{f, \sigma}(y_0^{(k)})]|}{h^{(k)p+1}} \right] \end{aligned}$$

Hyperparamètres

Définition

Un hyperparamètre est un paramètre défini en amont de l'apprentissage et régissant le processus.

Définition

Un hyperparamètre est un paramètre défini en amont de l'apprentissage et régissant le processus.

- Nombres de couches cachés

Hyperparamètres

Définition

Un hyperparamètre est un paramètre défini en amont de l'apprentissage et régissant le processus.

- Nombres de couches cachés

Proposition

Toute fonction continue définie sur un ensemble compact peut être approchée d'aussi près que l'on veut par un MLP à une couche cachée avec activation non linéaire.

Hyperparamètres

Définition

Un hyperparamètre est un paramètre défini en amont de l'apprentissage et régissant le processus.

- Nombres de couches cachés

Proposition

Toute fonction continue définie sur un ensemble compact peut être approchée d'aussi près que l'on veut par un MLP à une couche cachée avec activation non linéaire.

- Nombres de neurones par couches cachés

Hyperparamètres

Définition

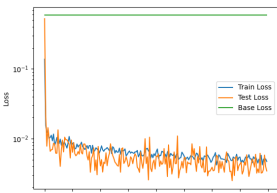
Un hyperparamètre est un paramètre défini en amont de l'apprentissage et régissant le processus.

- Nombres de couches cachés

Proposition

Toute fonction continue définie sur un ensemble compact peut être approchée d'aussi près que l'on veut par un MLP à une couche cachée avec activation non linéaire.

- Nombres de neurones par couches cachés



1 CC
100 Neurones

Hyperparamètres

Définition

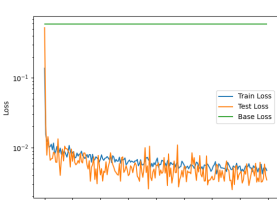
Un hyperparamètre est un paramètre défini en amont de l'apprentissage et régissant le processus.

- Nombres de couches cachés

Proposition

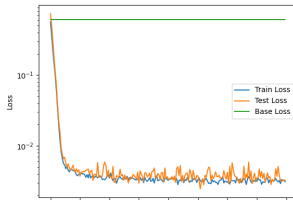
Toute fonction continue définie sur un ensemble compact peut être approchée d'aussi près que l'on veut par un MLP à une couche cachée avec activation non linéaire.

- Nombres de neurones par couches cachés



1 CC
100 Neurones

Coudiere Dorian



2 CC
50 Neurones

Machine Learning for EDS

June 4, 2024

9 / 20

- Fonction d'activation

- Sigmoides : $f(x) = \frac{1}{1+e^{-x}}$

- **Fonction d'activation**

- Sigmoid : $f(x) = \frac{1}{1+e^{-x}}$
- Tanh : $f(x) = \tanh(x)$

- **Fonction d'activation**

- Sigmoid : $f(x) = \frac{1}{1+e^{-x}}$

- Tanh : $f(x) = \tanh(x)$

- ReLU :

$$f(x) = \begin{cases} 0 & \text{si } x < 0 \\ x & \text{si } x \geq 0 \end{cases}$$

- **Fonction d'activation**

- Sigmoid : $f(x) = \frac{1}{1+e^{-x}}$
- Tanh : $f(x) = \tanh(x)$
- ReLU :

$$f(x) = \begin{cases} 0 & \text{si } x < 0 \\ x & \text{si } x \geq 0 \end{cases}$$

- **Algorithme d'optimisation**

Hyperparamètres

- **Fonction d'activation**

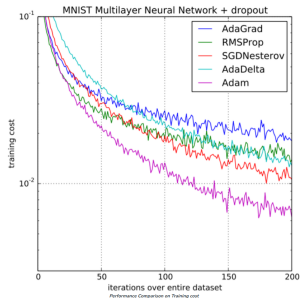
- Sigmoid : $f(x) = \frac{1}{1+e^{-x}}$

- Tanh : $f(x) = \tanh(x)$

- ReLU :

$$f(x) = \begin{cases} 0 & \text{si } x < 0 \\ x & \text{si } x \geq 0 \end{cases}$$

- **Algorithme d'optimisation**



Hyperparamètres

- **Fonction d'activation**

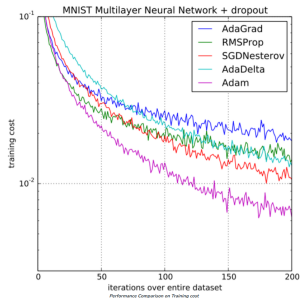
- Sigmoid : $f(x) = \frac{1}{1+e^{-x}}$

- Tanh : $f(x) = \tanh(x)$

- ReLU :

$$f(x) = \begin{cases} 0 & \text{si } x < 0 \\ x & \text{si } x \geq 0 \end{cases}$$

- **Algorithme d'optimisation**



Hyperparamètres

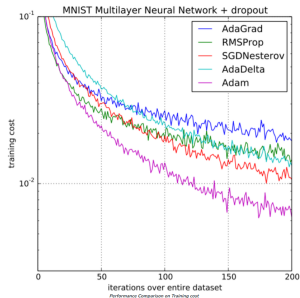
- **Fonction d'activation**

- Sigmoidé : $f(x) = \frac{1}{1+e^{-x}}$
- Tanh : $f(x) = \tanh(x)$
- ReLU :

$$f(x) = \begin{cases} 0 & \text{si } x < 0 \\ x & \text{si } x \geq 0 \end{cases}$$

- **Algorithme d'optimisation**

- **Learning rate**



Hyperparamètres

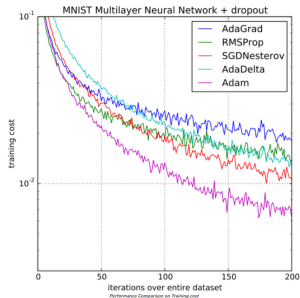
- **Fonction d'activation**

- Sigmoid : $f(x) = \frac{1}{1+e^{-x}}$
- Tanh : $f(x) = \tanh(x)$
- ReLU :
$$f(x) = \begin{cases} 0 & \text{si } x < 0 \\ x & \text{si } x \geq 0 \end{cases}$$

- **Algorithme d'optimisation**

- **Learning rate**

$$W_{i+1} = W_i - \eta \frac{\partial L}{\partial W_i}$$



Hyperparamètres

- **Fonction d'activation**

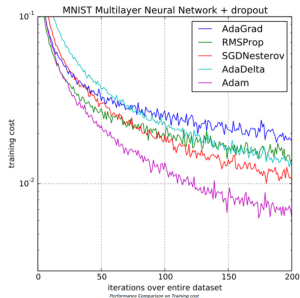
- Sigmoid : $f(x) = \frac{1}{1+e^{-x}}$

- Tanh : $f(x) = \tanh(x)$

- ReLU :

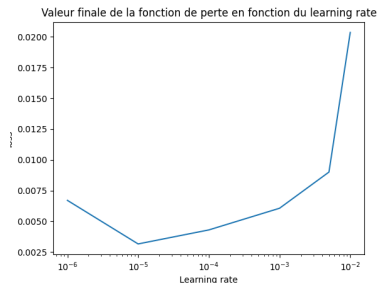
$$f(x) = \begin{cases} 0 & \text{si } x < 0 \\ x & \text{si } x \geq 0 \end{cases}$$

- **Algorithme d'optimisation**



- **Learning rate**

$$W_{i+1} = W_i - \eta \frac{\partial L}{\partial W_i}$$



- 1 Nature du problème
- 2 Construction de notre Modèle
- 3 Simualtions numériques**
- 4 Conclusion et suite

- 1 Nature du problème
- 2 Construction de notre Modèle
- 3 Simualtions numériques**
 - EDS Linéaire
 - Pendule Stochastique
- 4 Conclusion et suite

Étude de l'amélioration

$$dX = \lambda X dt + \mu X dW \quad \lambda \in \mathbb{R} \quad \mu \in \mathbb{R} \quad X(0) = x$$

Étude de l'amélioration

$$dX = \lambda X dt + \mu X dW \quad \lambda \in \mathbb{R} \quad \mu \in \mathbb{R} \quad X(0) = x$$

- $\lambda = 1 \quad \mu = 0.1$

Étude de l'amélioration

$$dX = \lambda X dt + \mu X dW \quad \lambda \in \mathbb{R} \quad \mu \in \mathbb{R} \quad X(0) = x$$

• $\lambda = 1$ $\mu = 0.1$ • **Domaine d'entraînement** : $[0, 2]$

Étude de l'amélioration

$$dX = \lambda X dt + \mu X dW \quad \lambda \in \mathbb{R} \quad \mu \in \mathbb{R} \quad X(0) = x$$

• $\lambda = 1$ $\mu = 0.1$ • **Domaine d'entraînement** : $[0, 2]$

• **Intégrateur numérique** : Euler-Maruyama

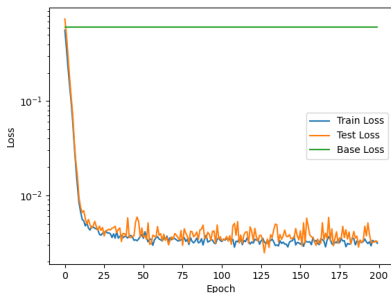
Étude de l'amélioration

$$dX = \lambda X dt + \mu X dW \quad \lambda \in \mathbb{R} \quad \mu \in \mathbb{R} \quad X(0) = x$$

- $\lambda = 1$ $\mu = 0.1$ • **Domaine d'entraînement** : $[0, 2]$

- **Intégrateur numérique** : Euler-Maruyama

- Amélioration de l'ordre cherchée : 2 $\tilde{f} = f + hf_1 + h^2f_2$



- Diminution de la perte par 100

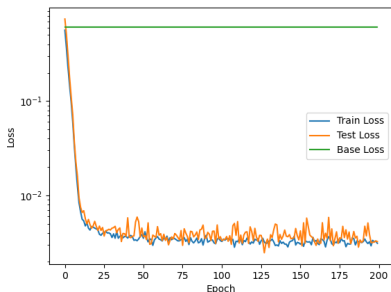
Étude de l'amélioration

$$dX = \lambda X dt + \mu X dW \quad \lambda \in \mathbb{R} \quad \mu \in \mathbb{R} \quad X(0) = x$$

- $\lambda = 1$ $\mu = 0.1$ • **Domaine d'entraînement** : $[0, 2]$

- **Intégrateur numérique** : Euler-Maruyama

- Amélioration de l'ordre cherchée : 2 $\tilde{f} = f + hf_1 + h^2f_2$



- Diminution de la perte par 100
- Pas d'overfitting

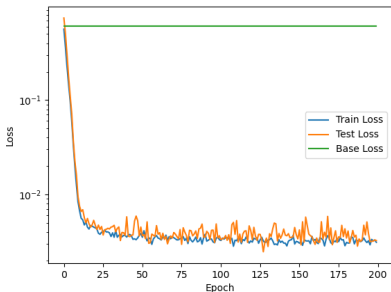
Étude de l'amélioration

$$dX = \lambda X dt + \mu X dW \quad \lambda \in \mathbb{R} \quad \mu \in \mathbb{R} \quad X(0) = x$$

• $\lambda = 1$ $\mu = 0.1$ • **Domaine d'entraînement** : $[0, 2]$

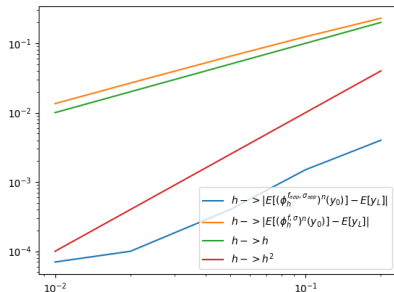
• **Intégrateur numérique** : Euler-Maruyama

• Amélioration de l'ordre cherchée : 2 $\tilde{f} = f + hf_1 + h^2f_2$



• Diminution de la perte par 100

• Pas d'overfitting



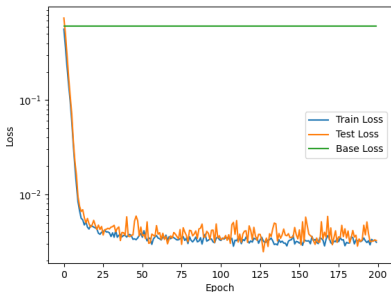
Étude de l'amélioration

$$dX = \lambda X dt + \mu X dW \quad \lambda \in \mathbb{R} \quad \mu \in \mathbb{R} \quad X(0) = x$$

• $\lambda = 1$ $\mu = 0.1$ • **Domaine d'entraînement** : $[0, 2]$

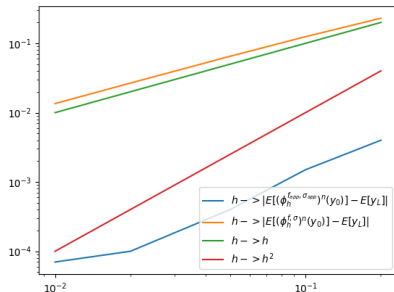
• **Intégrateur numérique** : Euler-Maruyama

• Amélioration de l'ordre cherchée : 2 $\tilde{f} = f + hf_1 + h^2f_2$

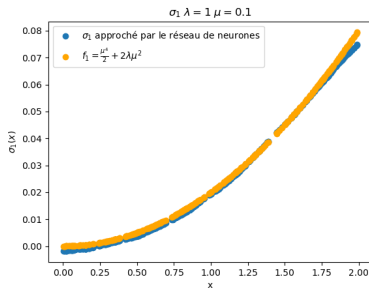
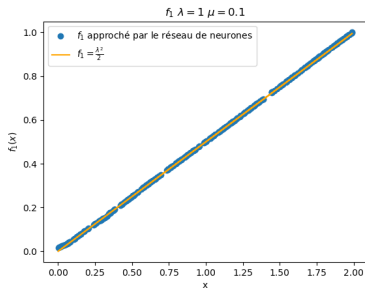


• Diminution de la perte par 100

• Pas d'overfitting



Étude des MLP



- 1 Nature du problème
- 2 Construction de notre Modèle
- 3 Simualtions numériques**
 - EDS Linéaire
 - Pendule Stochastique
- 4 Conclusion et suite

Pendule stochastique

$$\begin{cases} dX = f(q, p)(dt + \circ dW) \\ f(q, p) = J\nabla H(q, p) = \begin{pmatrix} p \\ -\sin(q) \end{pmatrix} \\ H(q, p) = \frac{p^2}{2} + \sin(q) \end{cases}$$

Pendule stochastique

$$\begin{cases} dX = f(q, p)(dt + \circ dW) \\ f(q, p) = J\nabla H(q, p) = \begin{pmatrix} p \\ -\sin(q) \end{pmatrix} \\ H(q, p) = \frac{p^2}{2} + \sin(q) \end{cases}$$

MidPoint Stochastique : $X_1 = X_0 + f(\frac{X_0+X_1}{2})h + \sigma(\frac{X_0+X_1}{2})\sqrt{h}\xi$

Pendule stochastique

$$\begin{cases} dX = f(q, p)(dt + \circ dW) \\ f(q, p) = J\nabla H(q, p) = \begin{pmatrix} p \\ -\sin(q) \end{pmatrix} \\ H(q, p) = \frac{p^2}{2} + \sin(q) \end{cases}$$

MidPoint Stochastique : $X_1 = X_0 + f(\frac{X_0+X_1}{2})h + \sigma(\frac{X_0+X_1}{2})\sqrt{h}\xi$

Domaine d'entraînement :

$$[-\pi, \pi] \times [-1.5, 1.5]$$

Pendule stochastique

$$\begin{cases} dX = f(q, p)(dt + \circ dW) \\ f(q, p) = J\nabla H(q, p) = \begin{pmatrix} p \\ -\sin(q) \end{pmatrix} \\ H(q, p) = \frac{p^2}{2} + \sin(q) \end{cases}$$

MidPoint Stochastique : $X_1 = X_0 + f(\frac{X_0+X_1}{2})h + \sigma(\frac{X_0+X_1}{2})\sqrt{h}\xi$

Domaine d'entraînement :

$$[-\pi, \pi] \times [-1.5, 1.5] \rightarrow \begin{pmatrix} \frac{\pi}{3} \cos(\theta) + \epsilon_1 \\ \sin(\theta) + \epsilon_2 \end{pmatrix} \quad \theta \in [0, 2\pi], \epsilon_1, \epsilon_2 \in [-0.2, 0.2]$$

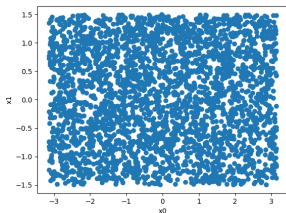
Pendule stochastique

$$\begin{cases} dX = f(q, p)(dt + \circ dW) \\ f(q, p) = J\nabla H(q, p) = \begin{pmatrix} p \\ -\sin(q) \end{pmatrix} \\ H(q, p) = \frac{p^2}{2} + \sin(q) \end{cases}$$

MidPoint Stochastique : $X_1 = X_0 + f(\frac{X_0+X_1}{2})h + \sigma(\frac{X_0+X_1}{2})\sqrt{h}\xi$

Domaine d'entraînement :

$$[-\pi, \pi] \times [-1.5, 1.5] \rightarrow \begin{pmatrix} \frac{\pi}{3} \cos(\theta) + \epsilon_1 \\ \sin(\theta) + \epsilon_2 \end{pmatrix} \quad \theta \in [0, 2\pi], \epsilon_1, \epsilon_2 \in [-0.2, 0.2]$$



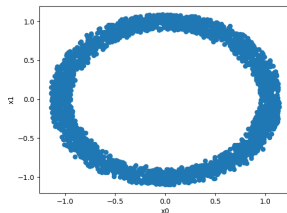
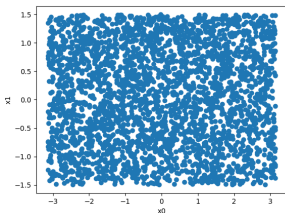
Pendule stochastique

$$\begin{cases} dX = f(q, p)(dt + \circ dW) \\ f(q, p) = J\nabla H(q, p) = \begin{pmatrix} p \\ -\sin(q) \end{pmatrix} \\ H(q, p) = \frac{p^2}{2} + \sin(q) \end{cases}$$

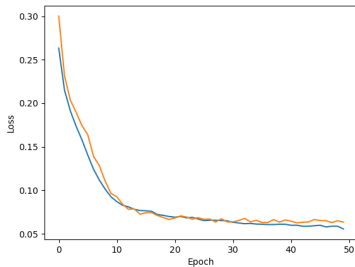
MidPoint Stochastique : $X_1 = X_0 + f(\frac{X_0+X_1}{2})h + \sigma(\frac{X_0+X_1}{2})\sqrt{h}\xi$

Domaine d'entraînement :

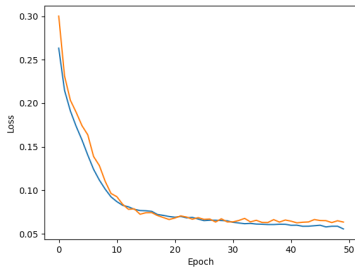
$$[-\pi, \pi] \times [-1.5, 1.5] \rightarrow \begin{pmatrix} \frac{\pi}{3} \cos(\theta) + \epsilon_1 \\ \sin(\theta) + \epsilon_2 \end{pmatrix} \quad \theta \in [0, 2\pi], \epsilon_1, \epsilon_2 \in [-0.2, 0.2]$$



Étude de l'amélioration

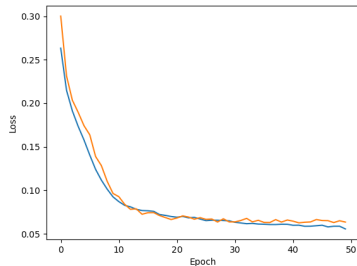


Étude de l'amélioration



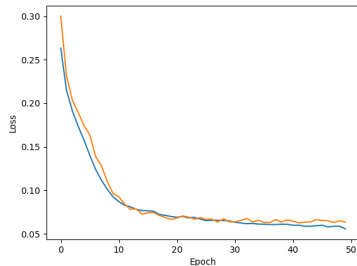
- Diminution de la perte par 10

Étude de l'amélioration



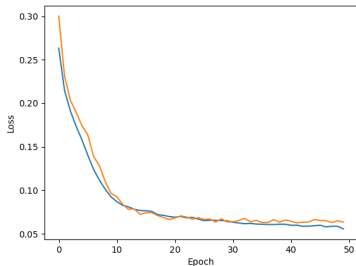
- Diminution de la perte par 10
- Apprentissage stable

Étude de l'amélioration

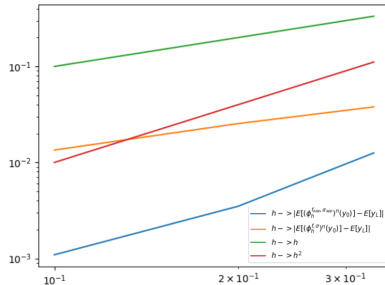


- Diminution de la perte par 10
- Apprentissage stable
- Pas d'overfitting → Dropout

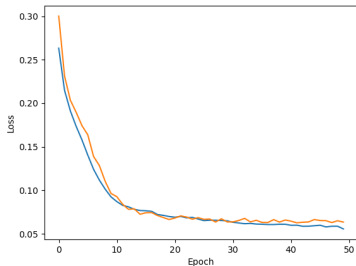
Étude de l'amélioration



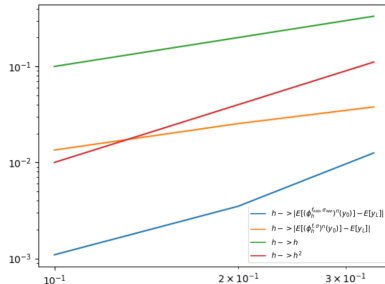
- Diminution de la perte par 10
- Apprentissage stable
- Pas d'overfitting → Dropout



Étude de l'amélioration

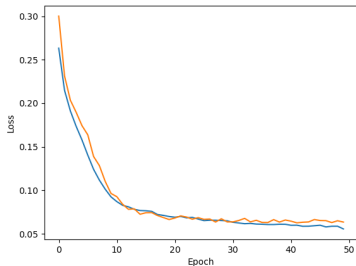


- Diminution de la perte par 10
- Apprentissage stable
- Pas d'overfitting → Dropout

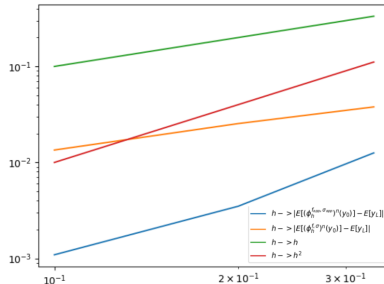


- Plage de h assez réduite

Étude de l'amélioration

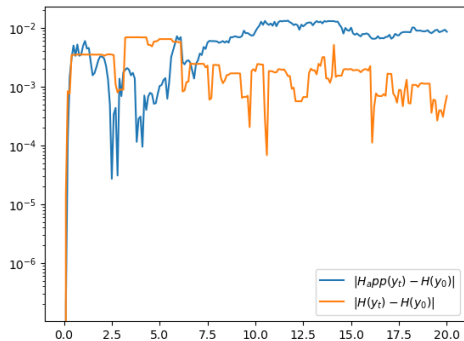


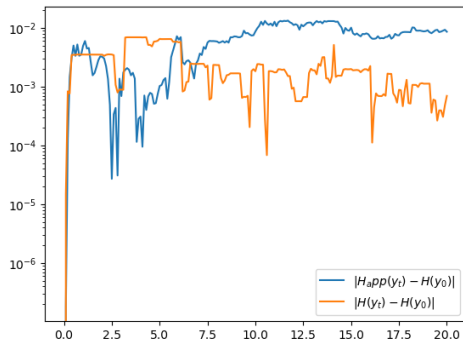
- Diminution de la perte par 10
- Apprentissage stable
- Pas d'overfitting → Dropout



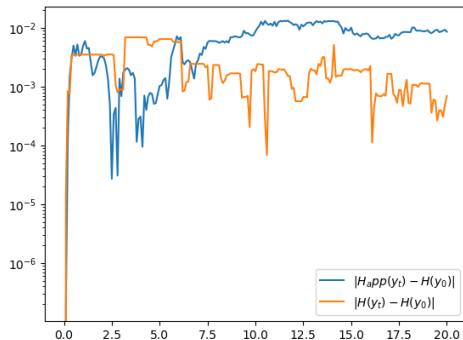
- Plage de h assez réduite
- Augmentation de l'ordre

Hamiltonien

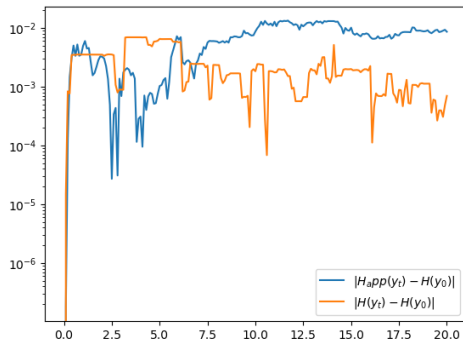




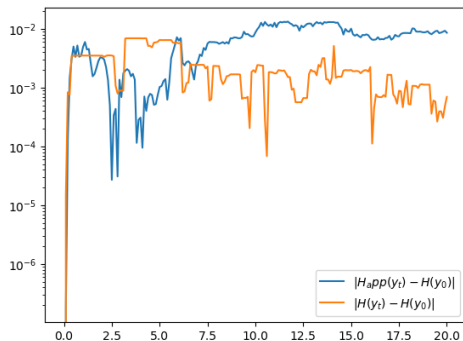
- Point Milieu Simple : Oscillation autour de la valeur initiale



- Point Milieu Simple : Oscillation autour de la valeur initiale
- Point Milieu Modifié : Oscillation pour des temps faibles puis divergence faible de l'erreur.



- Point Milieu Simple : Oscillation autour de la valeur initiale
- Point Milieu Modifié : Oscillation pour des temps faibles puis divergence faible de l'erreur.
- Contrairement aux EDOs, pas vraiment une méthode symplectique



- Point Milieu Simple : Oscillation autour de la valeur initiale
- Point Milieu Modifié : Oscillation pour des temps faibles puis divergence faible de l'erreur.
- Contrairement aux EDOs, pas vraiment une méthode symplectique
- Solution potentielle : Réseaux de neurones Hamiltonien

- 1 Nature du problème
- 2 Construction de notre Modèle
- 3 Simualtions numériques
- 4 Conclusion et suite**

Résumé :

- Définition d'un modèle approximant le champs modifié

Résumé :

- Définition d'un modèle approximant le champs modifié
- Réglage des hyperparamètres du modèle

Résumé :

- Définition d'un modèle approximant le champs modifié
- Réglage des hyperparamètres du modèle
- Apprentissage sur 2 cas tests significatifs

Résumé :

- Définition d'un modèle approximant le champs modifié
- Réglage des hyperparamètres du modèle
- Apprentissage sur 2 cas tests significatifs

Suite du travail :

Résumé :

- Définition d'un modèle approximant le champs modifié
- Réglage des hyperparamètres du modèle
- Apprentissage sur 2 cas tests significatifs

Suite du travail :

- Etudes d'autres exemples

Résumé :

- Définition d'un modèle approximant le champs modifié
- Réglage des hyperparamètres du modèle
- Apprentissage sur 2 cas tests significatifs

Suite du travail :

- Etudes d'autres exemples
 - Bruit Additif : $dX = f(X)dt + \sigma dW, \sigma \in \mathbb{R}$

Résumé :

- Définition d'un modèle approximant le champs modifié
- Réglage des hyperparamètres du modèle
- Apprentissage sur 2 cas tests significatifs

Suite du travail :

- Etudes d'autres exemples
 - Bruit Additif : $dX = f(X)dt + \sigma dW, \sigma \in \mathbb{R}$
 - EDS Standard

Résumé :

- Définition d'un modèle approximant le champs modifié
- Réglage des hyperparamètres du modèle
- Apprentissage sur 2 cas tests significatifs

Suite du travail :

- Etudes d'autres exemples
 - Bruit Additif : $dX = f(X)dt + \sigma dW, \sigma \in \mathbb{R}$
 - EDS Standard
- Test d'augmentations d'ordres plus grands

Résumé :

- Définition d'un modèle approximant le champs modifié
- Réglage des hyperparamètres du modèle
- Apprentissage sur 2 cas tests significatifs

Suite du travail :

- Etudes d'autres exemples
 - Bruit Additif : $dX = f(X)dt + \sigma dW, \sigma \in \mathbb{R}$
 - EDS Standard
- Test d'augmentations d'ordres plus grands
- Réduire la complexité en temps et en mémoire